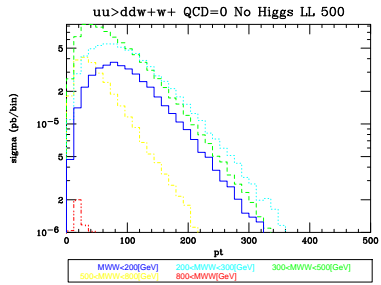
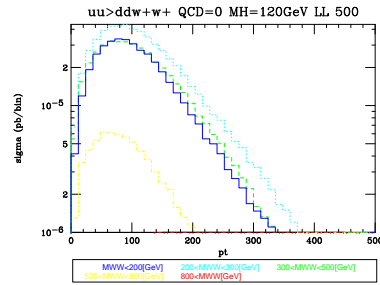


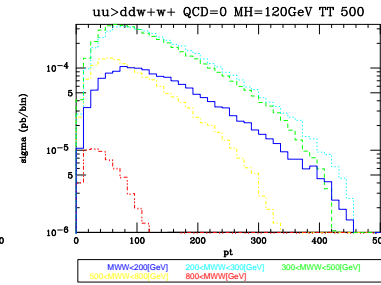
Przekroje czynne [fb]								
proces (E [TeV])	No Higgs LL	(Signal)	$M_H = 500GeV$ LL	(Signal)	$M_H = 120GeV$ LL	TT	TL	Bcg
$u(0.5TeV)u(0.5TeV) \rightarrow ddW^+W^+\mathcal{O}(\alpha_S^0)$ , bez cięć	2.2117	(0.7515)	.	.	1.4602	12.35	8.0895	21.8997
$u(0.5TeV)u(1TeV) \rightarrow ddW^+W^+\mathcal{O}(\alpha_S^0)$ , bez cięć	5.1203	(2.1254)	.	.	2.9949	25.777	16.659	45.4309
$u(1TeV)u(1TeV) \rightarrow ddW^+W^+\mathcal{O}(\alpha_S^0)$ , bez cięć	10.6173	(5.34542)	6.83928	(1.5674)	5.27188	46.7754	29.522	81.56928
$u(1TeV)u(1TeV) \rightarrow ddW^+W^+\mathcal{O}(\alpha_S^2)$ , bez cięć	15.8597	(5.3609)	12.0709	(1.5721)	10.4988	144.003	73.994	228.4958
$p(7TeV)p(7TeV) \rightarrow jjW^+W^+\mathcal{O}(\alpha_S^0)$ , bez cięć	33.7527	(12.6078)	23.1078	(1.9629)	21.1449	176.33	111.72	309.1949
$p(7TeV)p(7TeV) \rightarrow jjW^+W^+\mathcal{O}(\alpha_S^2)$ , bez cięć	50.8431	(12.8872)	39.985	(2.0291)	37.9559	445.01	245.03	727.9959



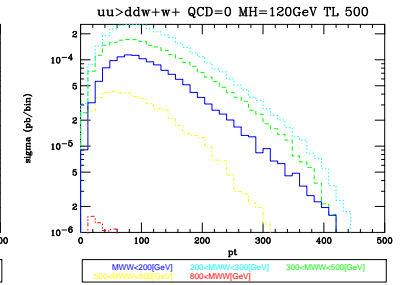
(a) No Higgs LL



(b)  $M_H = 120\text{GeV}$  LL

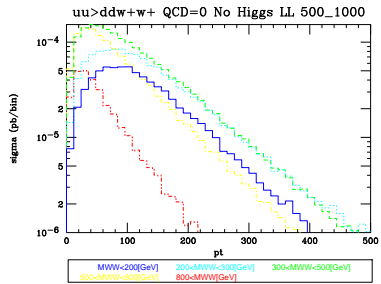


(c) TT

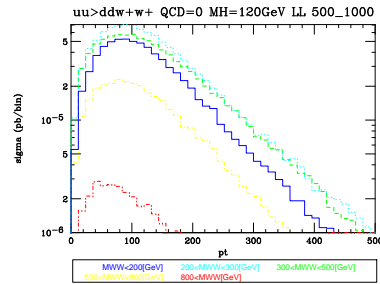


(d) TL

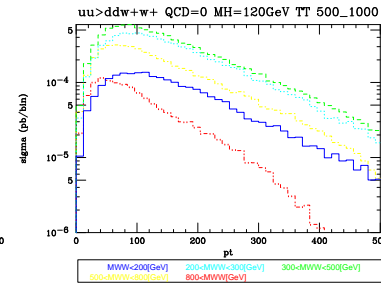
Rysunek 1:  $u(0.5\text{TeV})u(0.5\text{TeV}) \rightarrow ddW^+W^+\mathcal{O}(\alpha_S^0)$ , bez cięć



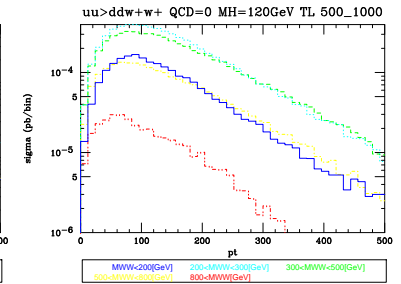
(a) No Higgs LL



(b)  $M_H = 120\text{GeV}$  LL

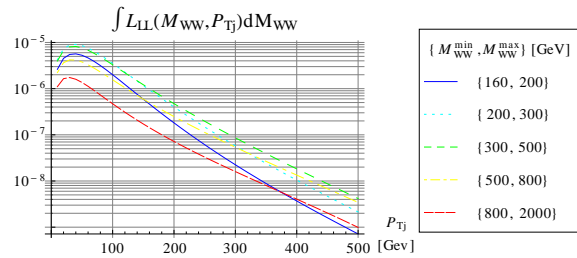


(c) TT

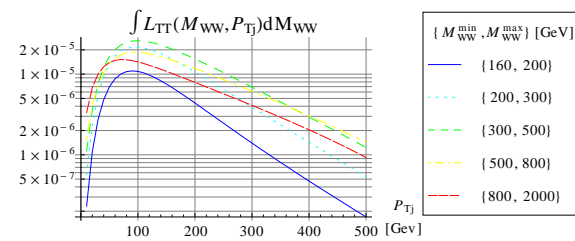


(d) TL

Rysunek 2:  $u(0.5\text{TeV})u(1\text{TeV}) \rightarrow ddW^+W^+\mathcal{O}(\alpha_S^0)$ , bez cięć

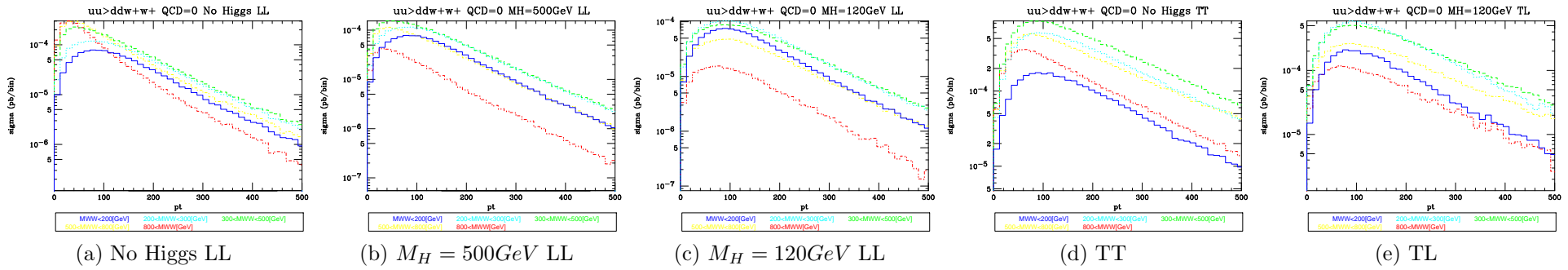


(a) LL

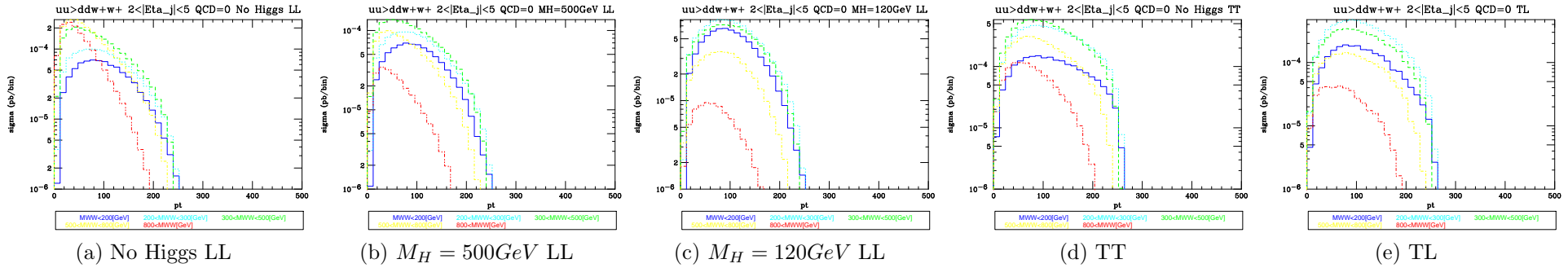


(b) TT

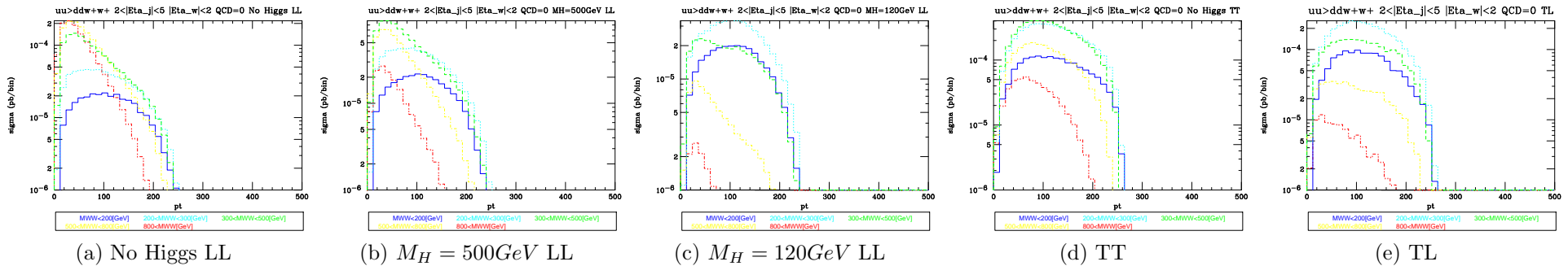
Rysunek 3: Luminosity ( $u(1\text{TeV}) \rightarrow dW^+$ )( $u(1\text{TeV}) \rightarrow dW^+$ ), bez cięć



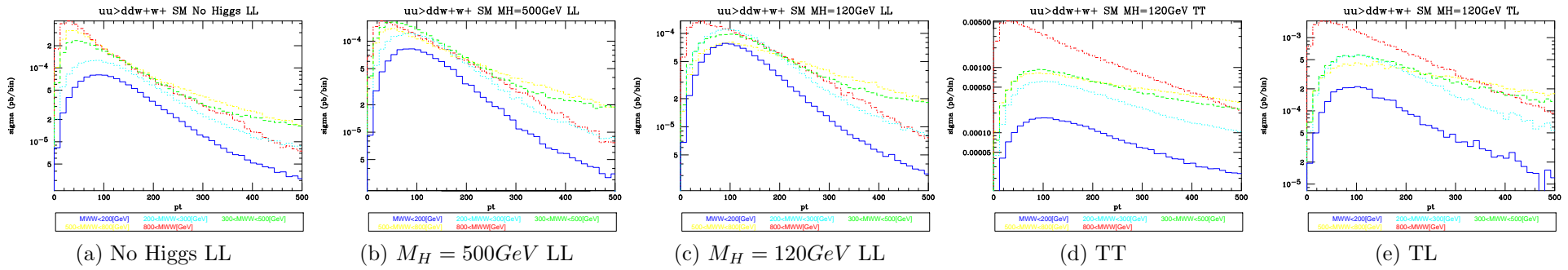
Rysunek 4:  $u(1\text{TeV})u(1\text{TeV}) \rightarrow ddW^+W^+\mathcal{O}(\alpha_S^0)$ , bez cięć



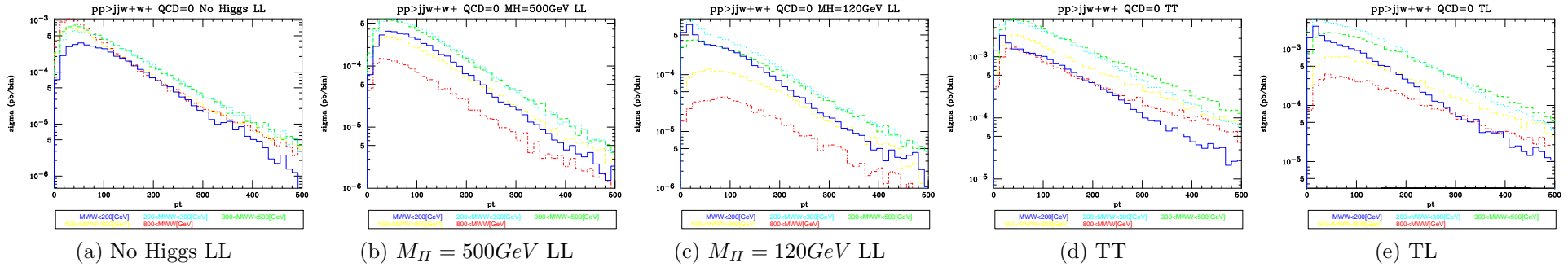
Rysunek 5:  $u(1\text{TeV})u(1\text{TeV}) \rightarrow ddW^+W^+\mathcal{O}(\alpha_S^0)$ ,  $\Delta\eta_{j1j2} > 4$ ,  $2 < |\eta_j| < 5$



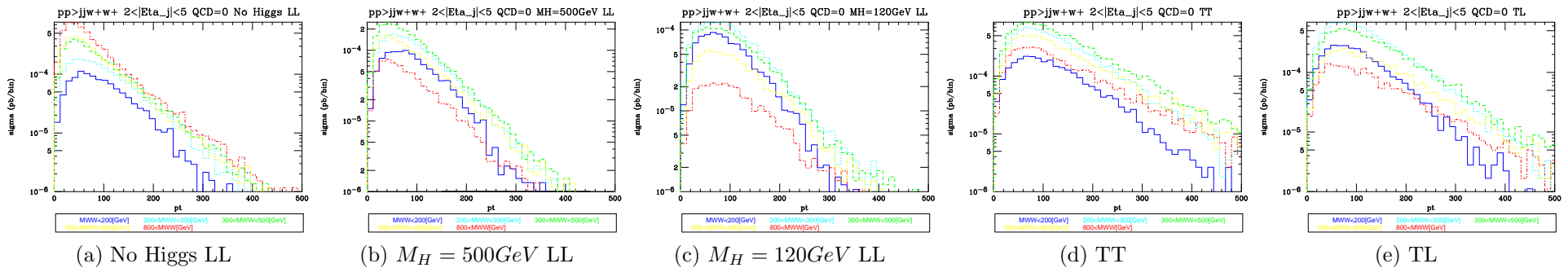
Rysunek 6:  $u(1\text{TeV})u(1\text{TeV}) \rightarrow ddW^+W^+\mathcal{O}(\alpha_S^0)$ ,  $\Delta\eta_{j1j2} > 4$ ,  $2 < |\eta_j| < 5$ ,  $|\eta_w| < 2$



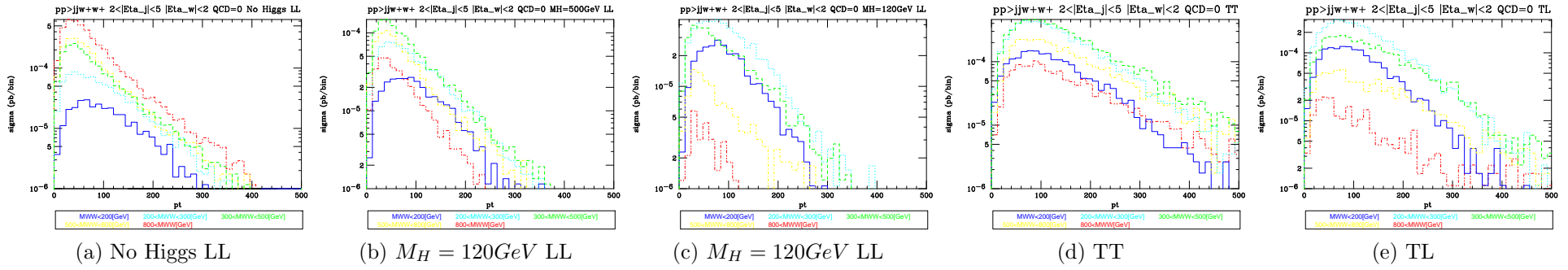
Rysunek 7:  $u(1\text{TeV})u(1\text{TeV}) \rightarrow ddW^+W^+\mathcal{O}(\alpha_S^2)$ , bez cięć



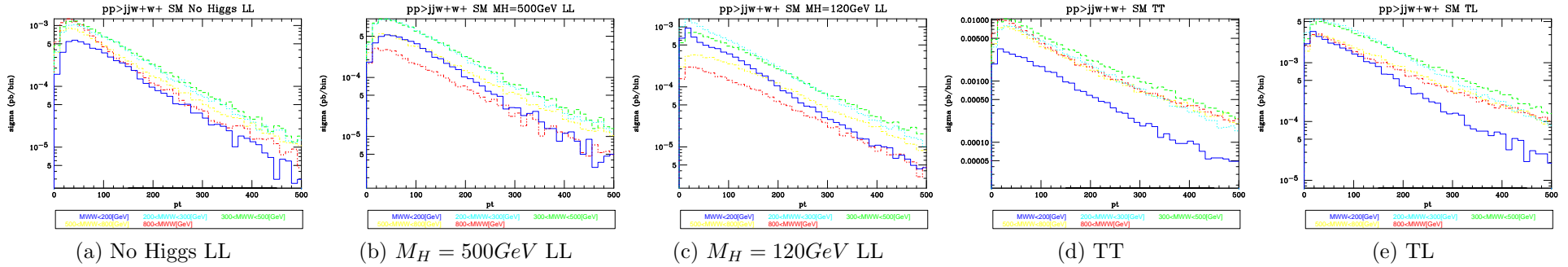
Rysunek 8:  $p(7\text{TeV})p(7\text{TeV}) \rightarrow jjW^+W^+\mathcal{O}(\alpha_S^0)$ , bez cięć



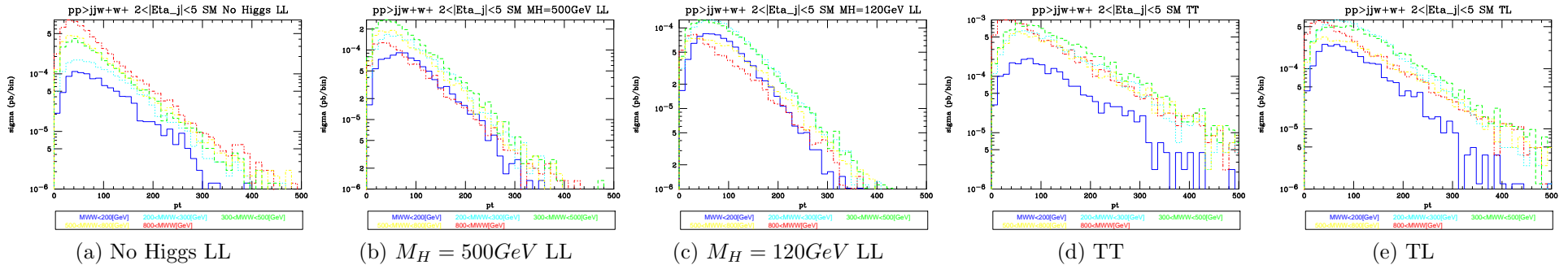
Rysunek 9:  $p(7\text{TeV})p(7\text{TeV}) \rightarrow jjW^+W^+\mathcal{O}(\alpha_S^0)$ ,  $\Delta\eta_{j_1j_2} > 4, 2 < |\eta_j| < 5$



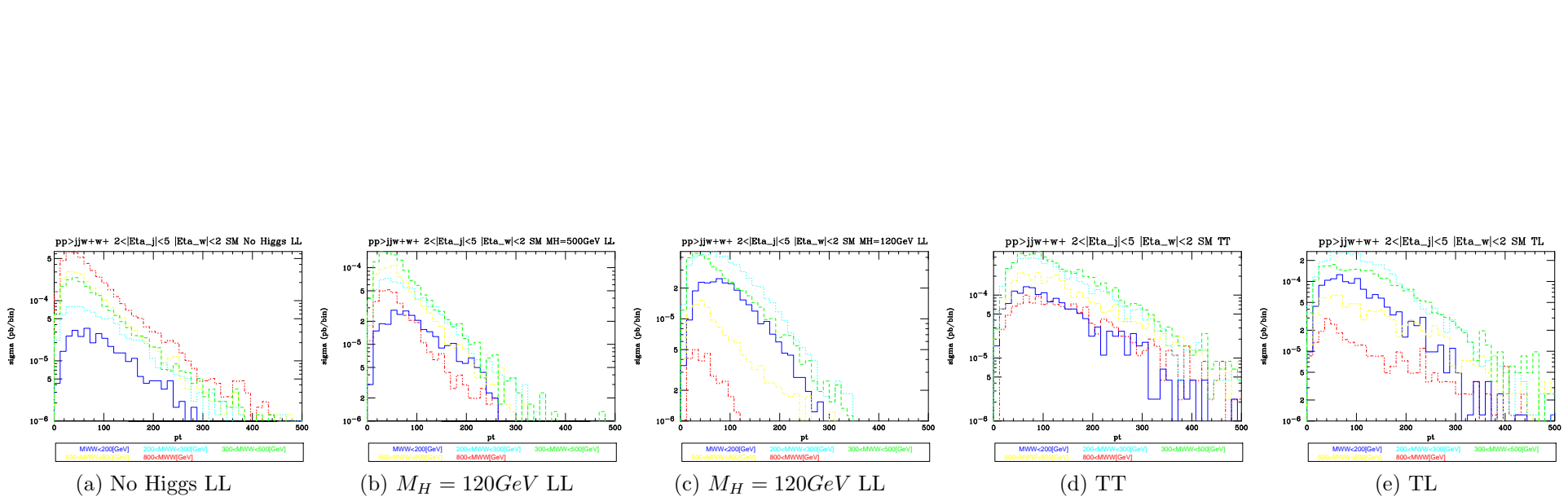
Rysunek 10:  $p(7\text{TeV})p(7\text{TeV}) \rightarrow jjW^+W^+\mathcal{O}(\alpha_S^0)$ ,  $\Delta\eta_{j1j2} > 4$ ,  $2 < |\eta_j| < 5$ ,  $|\eta_w| < 2$



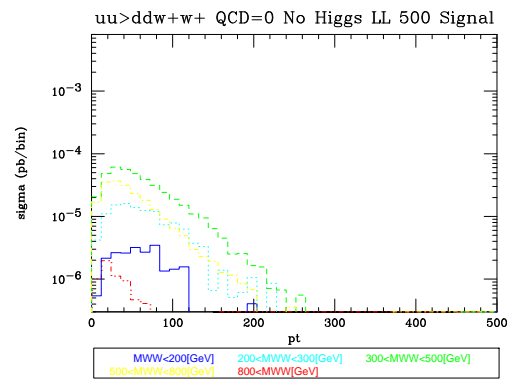
Rysunek 11:  $p(7\text{TeV})p(7\text{TeV}) \rightarrow jjW^+W^+\mathcal{O}(\alpha_S^2)$ , bez cięć



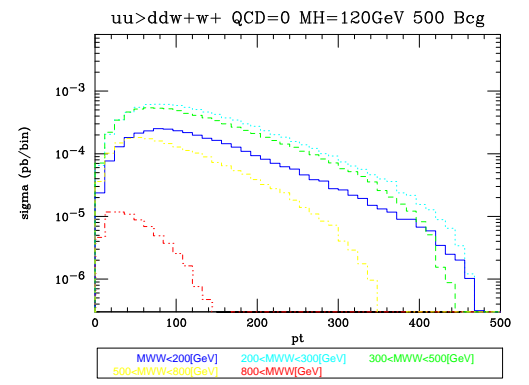
Rysunek 12:  $p(7\text{TeV})p(7\text{TeV}) \rightarrow jjW^+W^+\mathcal{O}(\alpha_S^2)$ ,  $\Delta\eta_{j1j2} > 4$ ,  $2 < |\eta_j| < 5$



Rysunek 13:  $p(7\text{TeV})p(7\text{TeV}) \rightarrow jjW^+W^+\mathcal{O}(\alpha_S^2)$ ,  $\Delta\eta_{j_1j_2} > 4$ ,  $2 < |\eta_j| < 5$ ,  $|\eta_w| < 2$

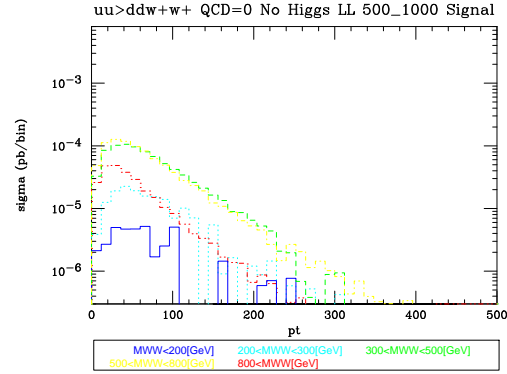


(a) Sygnał NoHiggs-MH120

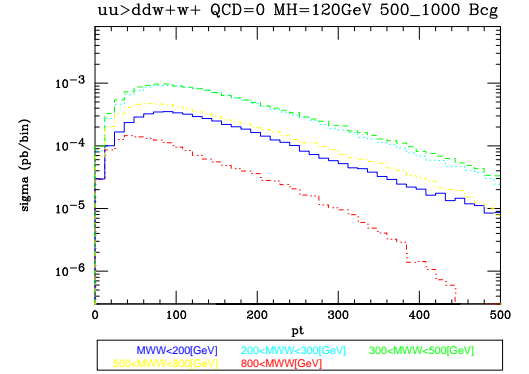


(b) Tłó

Rysunek 14:  $u(0.5TeV)u(0.5TeV) \rightarrow ddW^+W^+\mathcal{O}(\alpha_S^0)$ , bez cięć

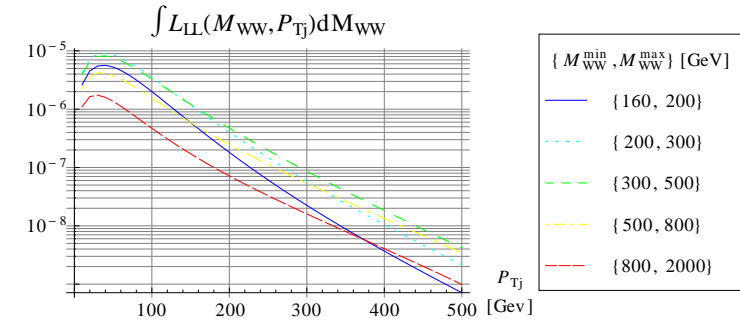


(a) Sygnał NoHiggs-MH120

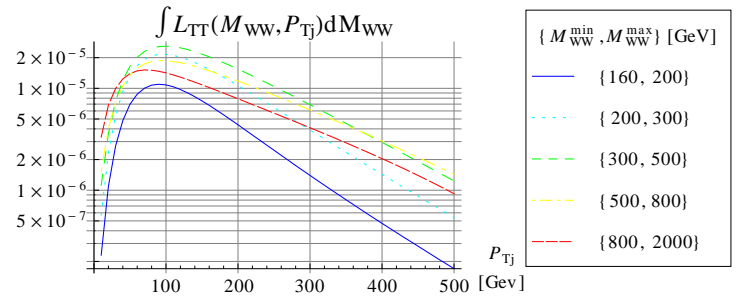


(b) Tłó

Rysunek 15:  $u(0.5TeV)u(0.5TeV) \rightarrow ddW^+W^+\mathcal{O}(\alpha_S^0)$ , bez cięć

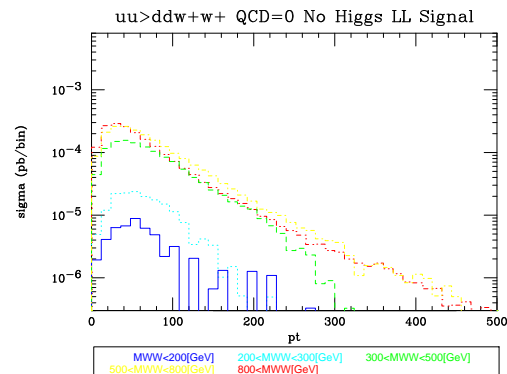


(a) LL

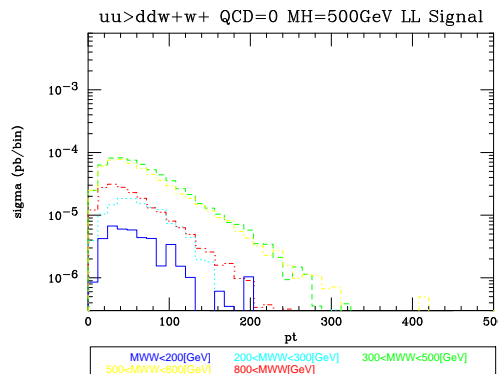


(b) TT

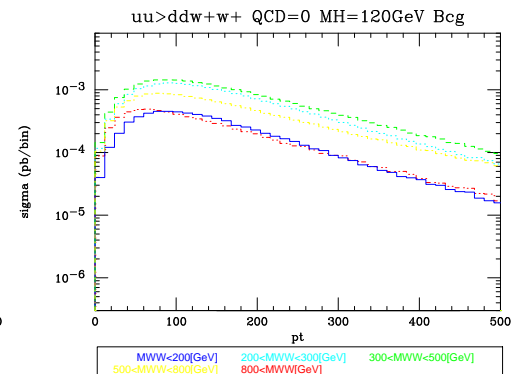
Rysunek 16: Luminosity ( $u(1TeV) \rightarrow dW^+$ )( $u(1TeV) \rightarrow dW^+$ ), bez cięć



(a) Sygnał NoHiggs-MH120

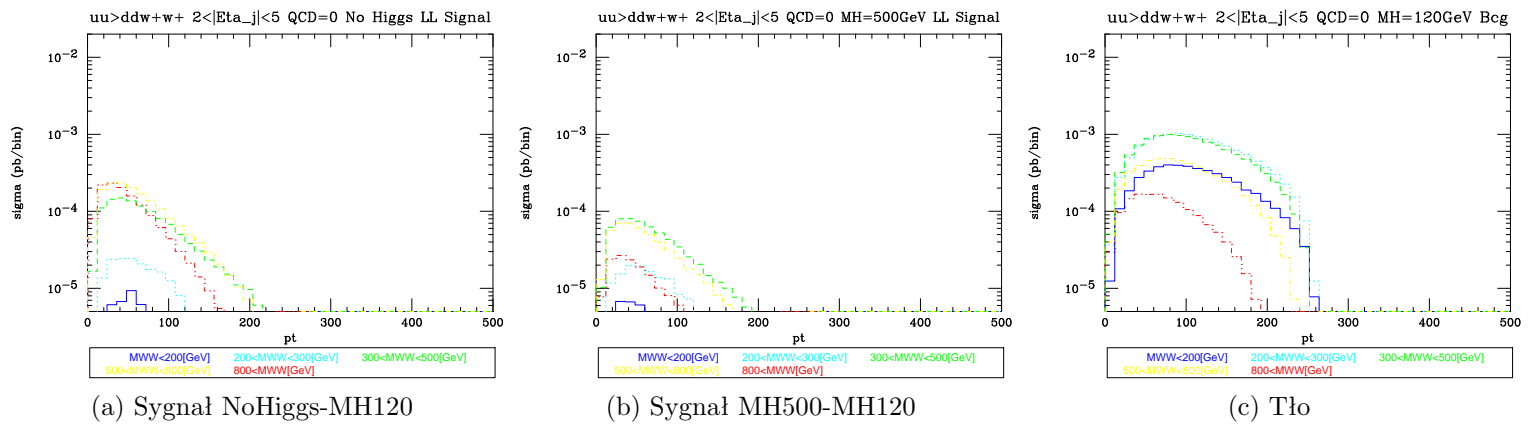


(b) Sygnał MH500-MH120

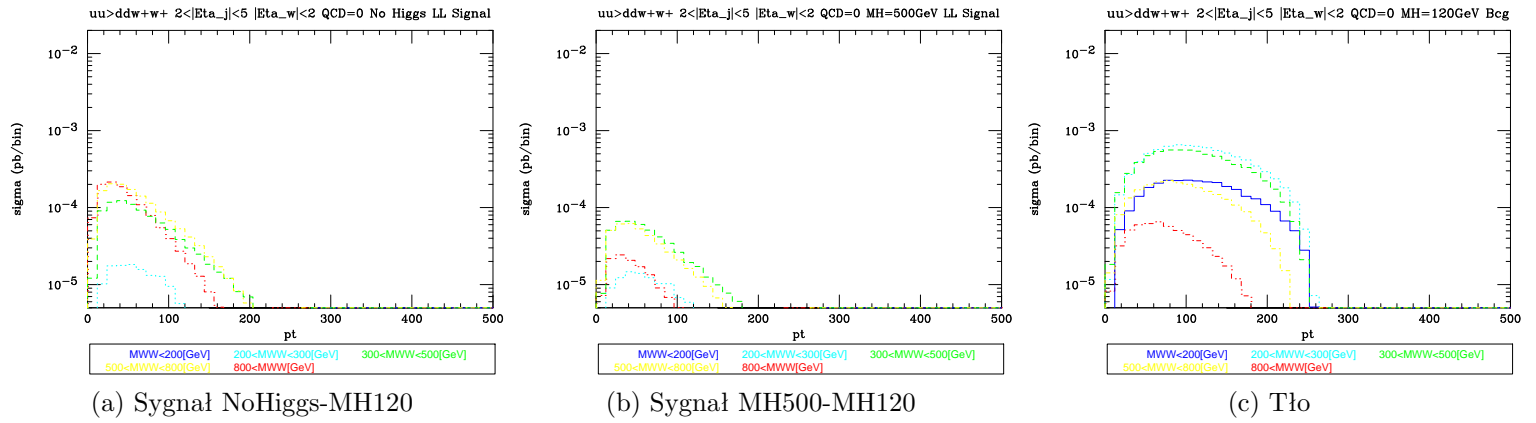


(c) Tłó

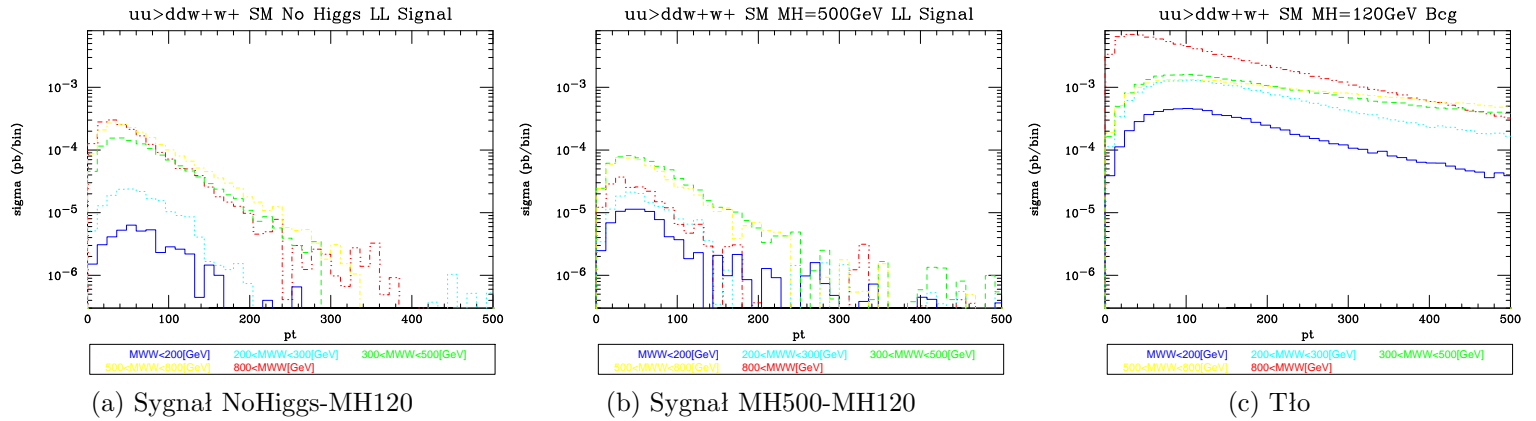
Rysunek 17:  $u(1TeV)u(1TeV) \rightarrow ddW^+W^+\mathcal{O}(\alpha_S^0)$ , bez cięć



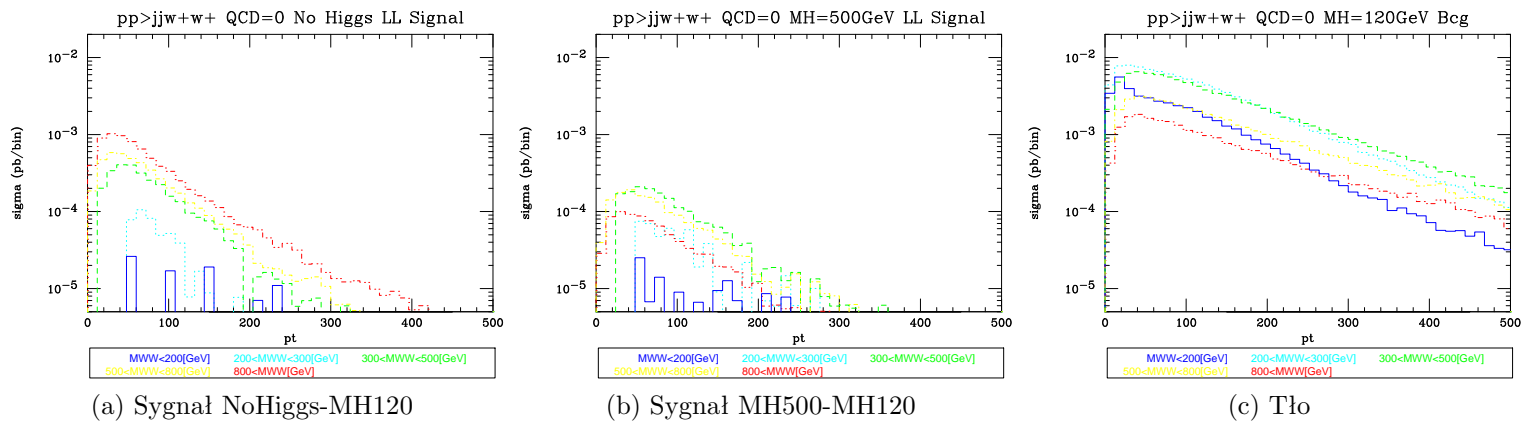
Rysunek 18:  $u(1TeV)u(1TeV) \rightarrow ddW^+W^+\mathcal{O}(\alpha_S^0)$ ,  $\Delta\eta_{j_1j_2} > 4$ ,  $2 < |\eta_j| < 5$



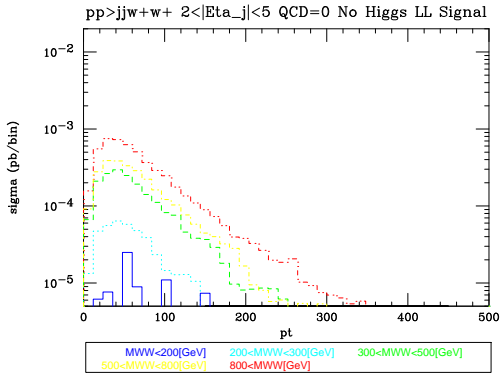
Rysunek 19:  $u(1TeV)u(1TeV) \rightarrow ddW^+W^+\mathcal{O}(\alpha_S^0)$ ,  $\Delta\eta_{j_1j_2} > 4$ ,  $2 < |\eta_j| < 5$ ,  $|\eta_w| < 2$



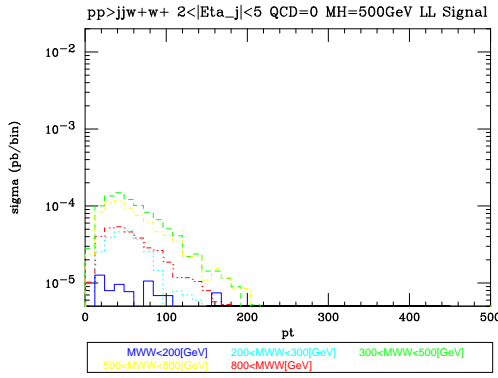
Rysunek 20:  $u(1TeV)u(1TeV) \rightarrow ddW^+W^+\mathcal{O}(\alpha_S^2)$ , bez cięć



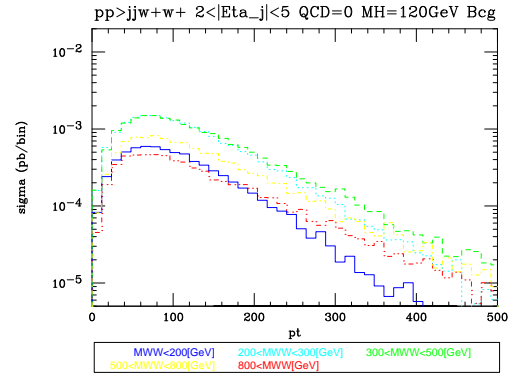
Rysunek 21:  $p(7TeV)p(7TeV) \rightarrow jjW^+W^+\mathcal{O}(\alpha_S^0)$ , bez cięć



(a) Sygnał NoHiggs-MH120

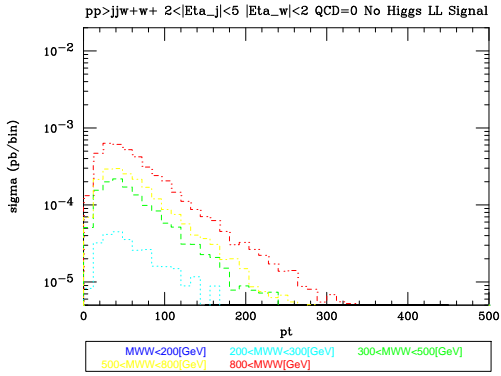


(b) Sygnał MH500-MH120GeV

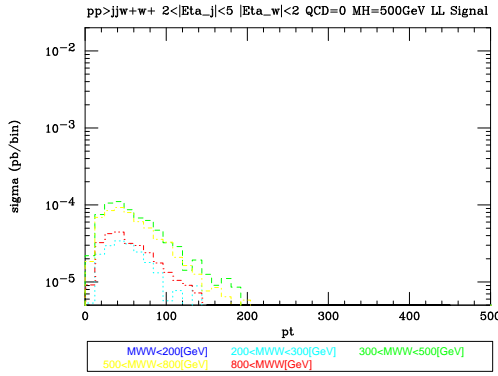


(c) Tło

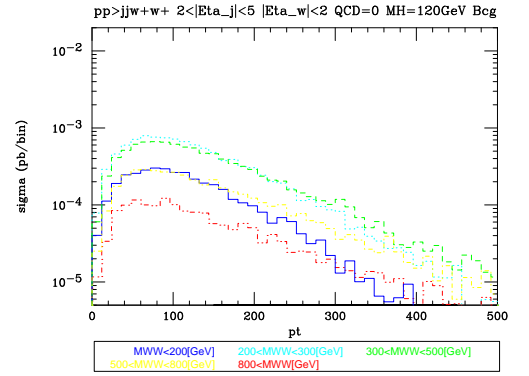
Rysunek 22:  $p(7TeV)p(7TeV) \rightarrow jjW^+W^+\mathcal{O}(\alpha_S^0)$ ,  $\Delta\eta_{j1j2} > 4$ ,  $2 < |\eta_j| < 5$



(a) Sygnał NoHiggs-MH120

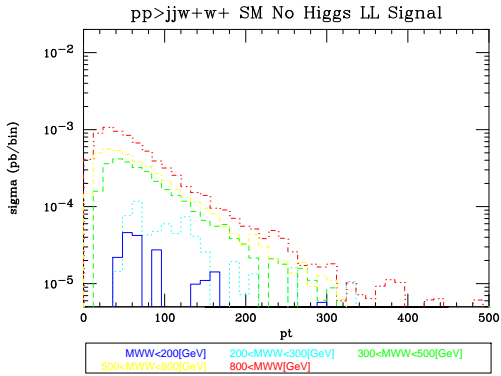


(b) Sygnał MH500-MH120GeV

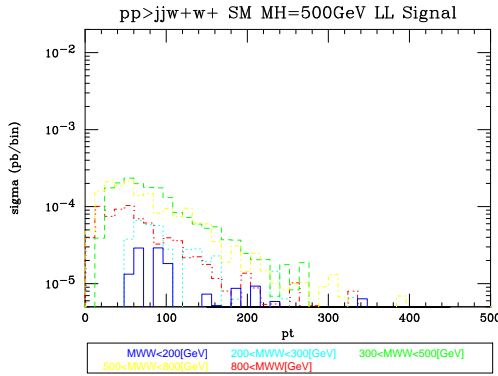


(c) Tło

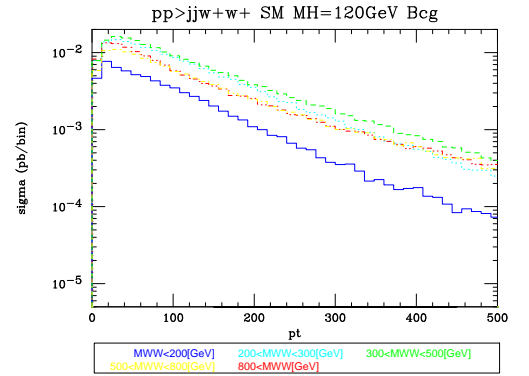
Rysunek 23:  $p(7TeV)p(7TeV) \rightarrow jjW^+W^+\mathcal{O}(\alpha_S^0)$ ,  $\Delta\eta_{j1j2} > 4$ ,  $2 < |\eta_j| < 5$ ,  $|\eta_w| < 2$



(a) Sygnał NoHiggs-MH120

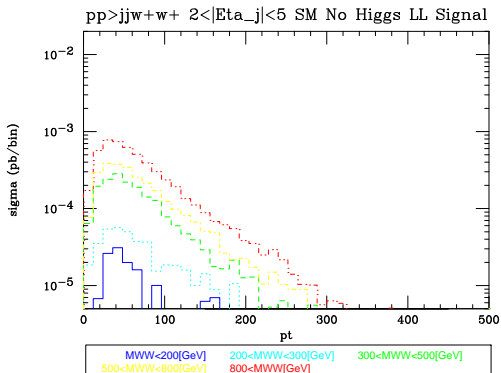


(b) Sygnał MH500-MH120GeV

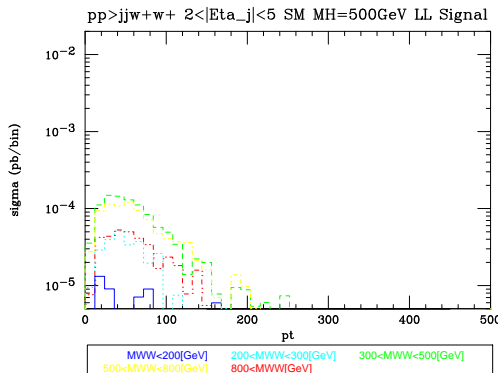


(c) Tło

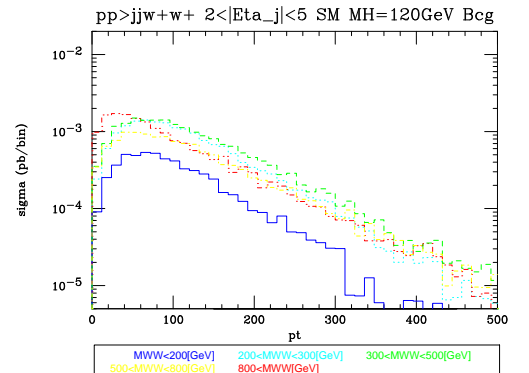
Rysunek 24:  $p(7TeV)p(7TeV) \rightarrow jjW^+W^+\mathcal{O}(\alpha_S^2)$ , bez cięć



(a) Sygnał NoHiggs-MH120

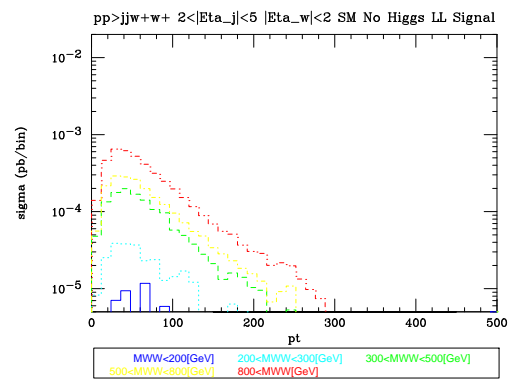


(b) Sygnał MH500-MH120GeV

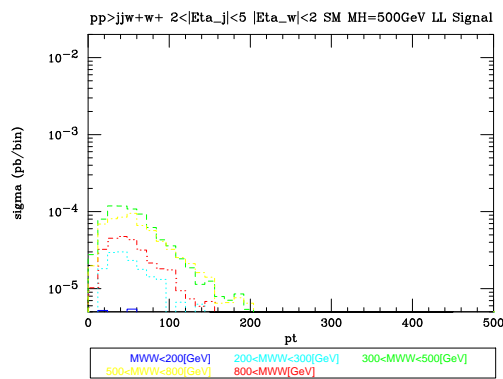


(c) Tło

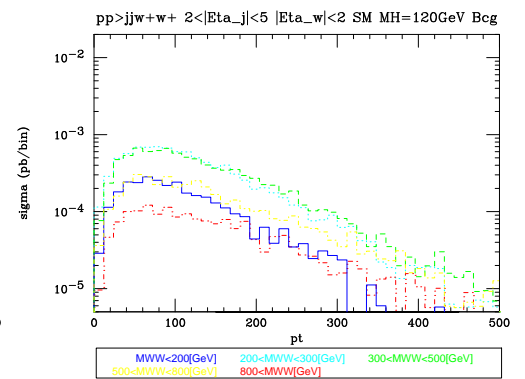
Rysunek 25:  $p(7TeV)p(7TeV) \rightarrow jjW^+W^+\mathcal{O}(\alpha_S^2)$ ,  $\Delta\eta_{j1j2} > 4$ ,  $2 < |\eta_j| < 5$



(a) Sygnał NoHiggs-MH120



(b) Sygnał MH500-MH120GeV



(c) Tło

Rysunek 26:  $p(7TeV)p(7TeV) \rightarrow jjW^+W^+\mathcal{O}(\alpha_S^2)$ ,  $\Delta\eta_{j_1j_2} > 4$ ,  $2 < |\eta_j| < 5$ ,  $|\eta_w| < 2$